1000kN 級ダイス・ロッド式摩擦ダンパーの高速載荷実験

青木あすなろ建設(株) 技術研究所 正会員 ○波田雅也 山﨑 彬 藤本和久 フェロー会員 牛島 栄 首都高速道路(株) 技術部 技術推進課 正会員 松原拓朗 山本一貴 引地宏陽 首都高速道路(株) 東京東局 土木保全設計課 正会員 磯部龍太郎 太田信之介

1. はじめに

筆者らは, 既設橋梁の上下部接続部 Dにダイス・ロッド式摩擦ダンパー(以下, 摩擦ダンパー)を設置して耐 震性向上を図る技術を提案している²⁾³⁾. 摩擦ダンパーは, ダイス(金属環)とロッド(金属棒)の接触面に摩擦 荷重が発生する機構である(図-1). ダイス内径より少し太いロッドをダイスにはめ込むことで生じる締付け 力を利用したシンプルな機構であり、部品寸法を一様に変えるだけで摩擦荷重を調節できる。これまでに、摩 擦荷重 25kN~1200kN 級まで幅広く製作実績があり, 何れも完全剛塑性型の履歴特性が得られている 3/4/5). ま た既報²⁾では、600kN 級(25kN~1200kN の概ね中間値)の摩擦ダンパーに対して高速載荷実験を実施し、正弦 波や L2 地震応答波載荷による動的挙動を把握している. 本研究では, さらに 1000kN 級の大容量摩擦ダンパ ー(規格荷重:1000kN, 最大ストローク:±150mm)に対して高速載荷実験を実施した. 本報は, 正弦波載荷時 の基本特性と L2 地震応答波載荷時のエネルギー吸収性能について示す.

2. 実験概要

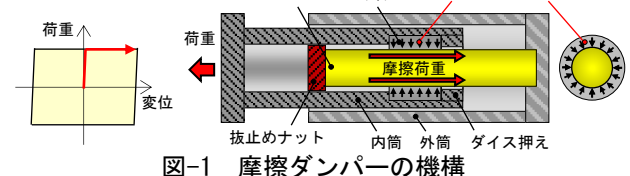
載荷装置は, JFE テクノリサーチ(株)が保有する高 速サーボ試験機を用いた(写真-1). 実験方法は摩擦ダ ンパーを軸方向に変位制御で載荷する方法とし、計測 項目は荷重と変位およびダイス表面温度とした(写真 -2). 速度は変位を微分して算定し, 極性は荷重と変位 ともに引張側を正とした. なお, 載荷後はダンパーが 蓄熱した摩擦熱を空冷し、ダイス表面が常温(24℃)以 下になったことを確認してから次の載荷を行った.

3. 正弦波載荷(基本特性の確認)

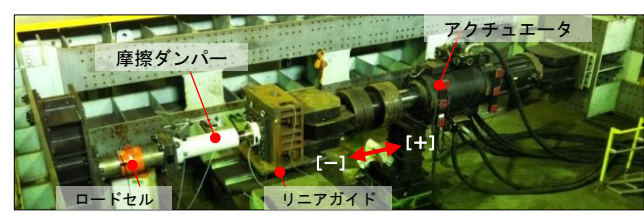
本章では、高速載荷時の基本特性を確認するために 実施した正弦波載荷の概要について示す.

3.1 **入力波形と載荷ケース** 入力波形は、既報 ²⁾に 準拠して目標振幅2サイクルの前後に漸増・漸減波を 2 サイクルずつ加えた正弦波とし、目標振幅 2 サイク ル目で摩擦荷重(切片荷重 $P_{\delta=0}$, 平均摩擦荷重 P_{ave})²⁾ を評価した(図-2). 載荷ケースは目標振幅と振動数を パラメータとして最大速度 V_{max} を変化させた計 13 ケ ースとした(表-1). 試験体数は表-1 中の 40mm シリー ズと 80mm シリーズを 2 体、その他を 1 体とした、

3.2 実験結果 各ケースの目標振幅 2 サイクルの履 🖁 歴曲線を抽出し、シリーズ毎に重ね合わせて図-3に示 す. 図-3 中には、0.4cm/sec 一定の三角波載荷 ²⁾から平 均摩擦荷重を評価した基準値 Poを破線で示している.



摩擦ダンパ--の機構



実験状況の全景



内筒に貫通孔をあけ、そこからダイス表面に熱電対を貼付けて温度を計測 写真-2 摩擦ダンパー設置状況

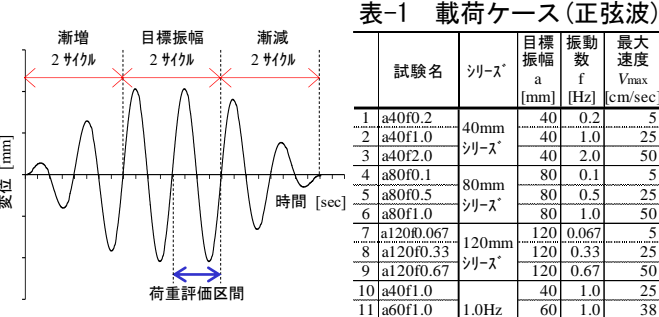


図-2 入力波形(正弦波)

		試験名	シリース*	日標 振幅 a [mm]	振動 数 f [Hz]	最天 速度 V _{max} [cm/sec]
	1	a40f0.2	40mm	40	0.2	5
	2	a40f1.0	シリース゜	40	1.0	25
	3	a40f2.0	ソリース	40	2.0	50
٦	4	a80f0.1	80mm シリース*	80	0.1	5
1	5	a80f0.5		80	0.5	25
J	6	a80f1.0	シリース	80	1.0	50
	7	a120f0.067	120mm シリース*	120	0.067	5
	8	a120f0.33		120	0.33	25
	9	a120f0.67		120	0.67	50
	10	a40f1.0	1.0Hz シリース*	40	1.0	25
	11	a60f1.0		60	1.0	38
	12	a80f1.0		80	1.0	50
	13	a100f1.0		100	1.0	63

キーワード 摩擦ダンパー,ダイス・ロッド式,橋梁,制震,高速載荷

- 連絡先 〒300-2622 茨城県つくば市要 36-1 青木あすなろ建設(株)技術研究所 構造研究部 TEL029-877-1112

また、全13ケースの V_{max} と P_{ave}/P_0 (P_{ave} を P_0 で除し て無次元化)の関係を図-4に示す. 図-4には、参考値 として既報²⁾の 600kN 級ダンパーの実験結果を記載 している. 図-3より、各シリーズとも振動数や振幅、 速度によらず概ね完全弾塑性型の履歴形状を示すこ とが確認できる。また、図-4より、入力する正弦波の V_{max} と P_{ave} との間には, 既報 $^{2)5)}$ で示した摩擦ダンパー と同様の相関関係 (V_{max} が 10cm/sec 未満の載荷ケース では P_{ave} が P_0 より大きく,10cm/sec 以上では V_{max} が 大きくなるほど P_{ave} が低下する)が認められる.

4. L2 地震応答波載荷 (エネルギー吸収の確認)

本章では、摩擦ダンパーが解析時に想定したエネル ギー吸収性能を有することを確認するために実施し た地震応答波載荷の概要について示す.

4.1 入力波形と載荷ケース 入力波形の一例を図-5 に、載荷ケース一覧を表-2 に示す. 入力波形は、 1000kN 摩擦ダンパーを用いた橋梁の時刻歴応答解析 で、L2 地震動 ¹⁾入力時に得られたダンパーの応答変位 波形であり、計6ケース実施した(試験体数は各1体).

履歴曲線の一例を図-6に、各ケース 4.2 実験結果 のエネルギー吸収量の実験値と解析値の関係を図-7 に示す. **図-6** と**図-7** より, 地震応答波載荷においても 概ね完全弾塑性型の履歴形状を示すこと, 各ケースと もエネルギー吸収量の実験値が解析値を上回ってい ることから、1000kN 摩擦ダンパーが想定通りのエネ ルギー吸収性能を発揮したことが確認できる.

5. ダイス表面温度の確認

摩擦ダンパーは振動エネルギーを摩擦熱に変えて 吸収する 5). 実験終了後の最大ダイス表面温度とエネ ルギー吸収量の関係を図-8 に示す。図-8 より、正弦 Ξ 波,地震応答波によらず,エネルギー吸収量が大きい 🖷 ほどダイス表面温度が高くなる傾向が確認できる.

6. まとめ

以上, 1000kN 級摩擦ダンパーの高速載荷実験を行 い,正弦波載荷時の基本特性と L2 地震応答波載荷時 のエネルギー吸収性能を確認した. なお, L2 地震時特 性の詳細については、稿を改めて報告したい.

1) 日本道路協会:道路橋示方書·同解説 V耐震設計編,2012.3 2) 波田雅也ほか: 橋梁の耐震補強に用いるダイス・ロッド式摩擦ダンパーの開発, 土 木学会論文集 A1, Vol. 75, No. 2, pp. 95-110, 2019 3)波田雅也ほか:ダイス・ロ ッド式摩擦ダンパーを用いた橋梁模型の振動台実験、コンクリート工学年次論文報 告集, Vol. 39, No. 2, pp. 859-864, 2017.7 4) 山﨑彬ほか: 1200kN 級の"大容量ダ イス・ロッド式摩擦ダンパー"の開発, 土木学会第 73 回年次学術講演会, I-316, pp. 631-632, 2018 5) 北嶋圭二ほか: 既存 RC 造建物の制震補強用摩擦ダンパーに関 する研究, コンクリート工学年次論文報告集, Vol. 21, No. 1, pp. 385-390, 1999

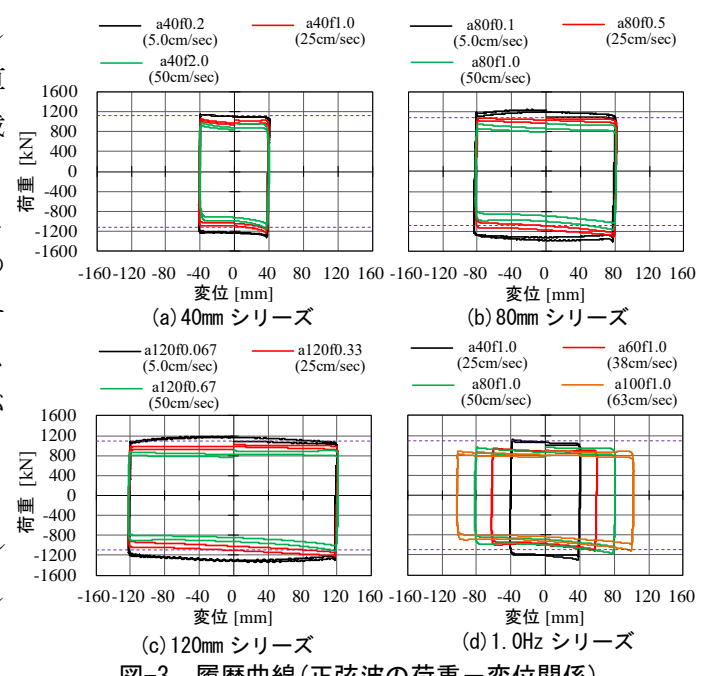


図-3 履歴曲線(正弦波の荷重-変位関係)

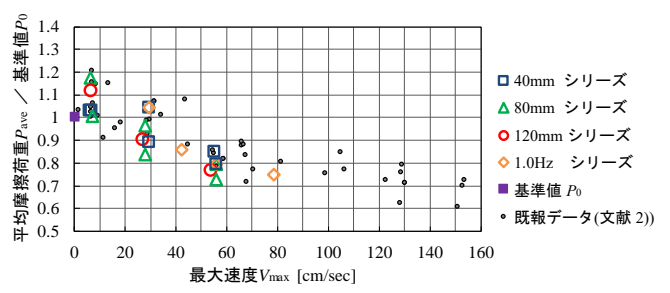


図-4 最大速度 V_{max} と平均摩擦荷重 P_{ave}の関係(正弦波)

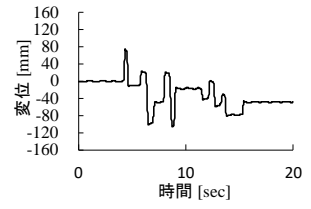
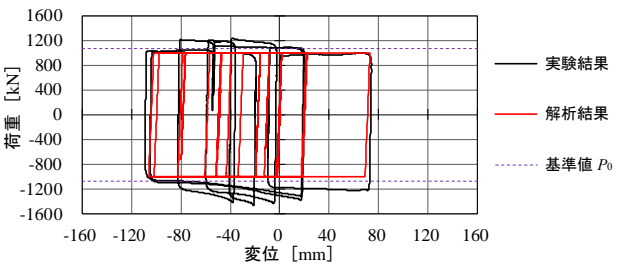


図-5 入力波形の一例

表-2 載荷ケース(地震応答波)								
	試験名	シリース*	最大 変位δ		最大 速度	継続 時間	エネルギ- 吸収量	
	武教石	77 X	[m +	m] —	V max [cm/sec]	t [sec]	E [kN·m]	
1	type I-1	type I	1	-92	61	120	142	
2	type I-2	地震動 シリーズ	20	-60	53	240	249	
3	type I-3		10	-31	42	240	91	
4	type II-1	type II	73	-106	87	50	865	
		地震動	59	-95	100	50	790	
6	type II-3	シリース゛	64	-140	93	50	558	

(地震応答波 type II-1) ※表中のエネルギー吸収量は、1000kN 磨擦ダンパーの解析値



履歴曲線の一例(地震応答波 type II-1)

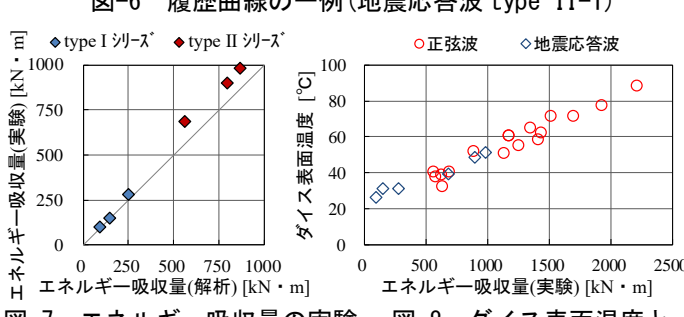


図-7 エネルギー吸収量の実験 値と解析値の関係(地震応答波)

図-8 ダイス表面温度と エネルギー吸収量の関係